

谢的状况，并且其活性与线粒体数目成正相关，因此通过观察骨骼肌内 SDH 活性的变化可直接反应肌肉携氧能力<sup>[13]</sup>。然而在本病例中，I型肌纤维组成比在高达 99% 骨骼肌中却显示 SDH 活性低于同龄正常对照，提示 II 型肌纤维向 I 型肌纤维转化仅仅是一个病理现象，氧化能力降低影响了骨骼肌利用 O<sub>2</sub> 的能力和心血管系统供氧能力，因此，氧化代谢能力低下可能是导致脑萎缩不可忽视的因素之一。

### [参考文献]

- [1] Une Y, Haraguchi H. Congenital myopathy with type 2 fiber deficiency and without specific structural abnormalities [J]. 脑と発達, 1980, 12: 554-556.
- [2] Oh SJ, Danon MJ. Nonprogressive congenital neuromuscular disease with uniform type 1 fiber [J]. Arch Neurol, 1983, 40(3): 147-150.
- [3] Giometti CS, Danon MJ. The expression of myosin light chains and tropomyosin in human muscle biopsies with histochemical type 1 and type 2 fiber deficiency [J]. Muscle Nerve, 1990, 13(3): 209-214.
- [4] Jong YJ, Huang SC, Liu GC, Chiang CH. Mental retardation in congenital nonprogressive myopathy with uniform type 1 [J]. Brain Dev, 1991, 13(6): 444-446.
- [5] Jung EY, Hattori H, Higuchi Y, Mitsuyoshi I, Kanda T. Brain trophy in congenital neuromuscular disease with uniform type 1 fibers [J]. Pediatr Neurol, 1997, 16(1): 56-58.
- [6] Sakamoto HM, Yoshioka M, Tsuji M, Kuroki S, Higuchi Y, Nonaka I. A case of congenital neuromuscular disease with uniform type 1 fibers [J]. Brain Dev, 2006, 28(3): 202-205.
- [7] Dubowitz V, Sewry CA. Muscle Biopsy: A Practical Approach [M]. 3rd ed. Philadelphia: Elsevier, 2006: 407-439.
- [8] Sato I, Wu S, Ibarra MC, Hayashi YK, Fujita H, Tojo M, et al. Congenital neuromuscular disease with uniform type 1 fiber and RYR1 mutation [J]. Neurology, 2008, 70(2): 114-122.
- [9] Zhou H, Jungbluth H, Sewry CA, Feng L, Bertini E, Bushby, et al. Molecular mechanisms and phenotypic variation in RYR1-related congenital myopathies [J]. Brain, 2007, 130(8): 2024-2036.
- [10] Guo X, Steen B, Matousek M, Andreasson LA, Larsson L, Palsson S, et al. Population-based study on brain atrophy and motor performance in elderly women [J]. J Gerontol Med Sci, 2001, 56(10): M633-637.
- [11] Hernández N, Torres SH, Vera O, De Sanctis JB, Flores E. Muscle fiber composition and capillarization in relation to metabolic alterations in hypertensive men [J]. J Med, 2001, 32(1-2): 67-82.
- [12] Hernelahti M, Tikkainen HO, Karjalainen J, Kujala UM. Muscle fiber-type distribution as a predictor of blood pressure: a 19-year follow-up study [J]. Hypertension, 2005, 45(5): 1019-1023.
- [13] Punkt K. Fibre types in skeletal muscles [J]. Adv Anat Embryol Cell Biol, 2002, 162: III-XV, 1-109.

(本文编辑:黄榕)

### · 病例报告 ·

## 皮肤 T 细胞淋巴瘤并肾脏损害 1 例

张巍 党西强 薄涛

(中南大学湘雅二医院儿科 湖南 长沙 410011)

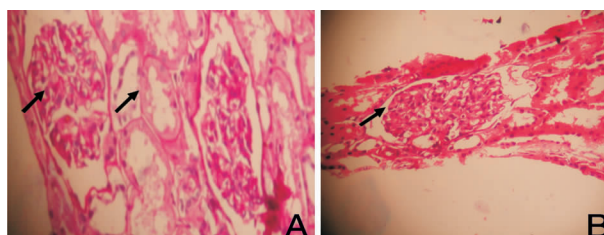
[中图分类号] R739.5 [文献标识码] E [文章编号] 1008-8830(2010)06-0498-02

患儿，男，10岁半。因疖肿伴间断发热5年半，发现蛋白尿6d入院。患儿自5年半前面部、双手足等暴露部位反复出现皮损，起初为红色丘疹，逐渐扩大成疖，单发多见，约1周后消褪，留有痘疮样凹陷性疤痕，常伴手足水肿，夏季多发，对光照及蚊虫叮咬敏感，冬季好转，伴发热。入院前6d发现蛋白尿，尿蛋白定量5.0 g/L，病程中无尿频、尿急、尿痛及水肿。体查：T 37.0°C，P 96次/min，R 22次/min，

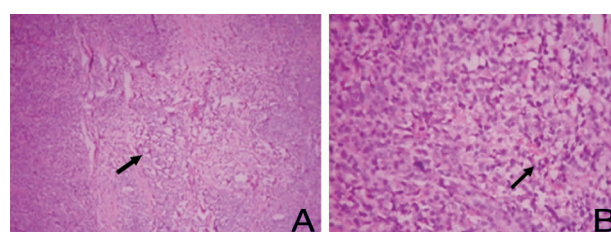
BP 90/50 mmHg。颜面部、双手背、双踝关节以下可见多个红色疖，个别可见中央脐凹，触之较硬，面部可见多个痘疮样凹陷性疤痕，双手背水肿，非凹陷性。双侧颌下、颈后、腹股沟可扪及数个淋巴结，约1.0 cm × 1.0 cm 大小，均质软、无压痛及粘连，表皮颜色无改变。心肺正常，腹部未扪及肿块，肝脾肋下未扪及，肾区无叩痛。实验室检查：血、便常规、复查尿常规及24 h 尿蛋白定量正常，免疫球蛋白正常，

[收稿日期] 2009-11-28; [修回日期] 2010-01-06  
[作者简介] 张巍，女，硕士研究生。

EBV-Ab、EBV-VCAgp125、VCAP19、EBNA-1 p<sup>22</sup>、EA-D 均为阴性;T 细胞亚群示辅助性 T 细胞比例降低;骨髓细胞形态学检查示骨髓增生活跃,各系比例正常,分类白细胞各系形态大致正常;肾脏病理检查结果:光镜示 IgG、C1q、C3、Fb 和胶原 IV 阳性,IgA、IgM、C4 阴性,部分肾小球肿胀增大并有分叶,球内细胞数轻度增多,可见少量炎性细胞浸润,系膜细胞增生,基质增多为主,基底膜无异常,大多肾小管可见空泡变性及刷状缘脱落,未见明显血管炎性改变(图 1);电镜示系膜细胞及基质轻中度增生,基质内较多高雾状沉积物,部分间质内胶原纤维增生,肾小球改变不明显。诊断为系膜增生性肾小球肾炎(MsPGN),符合继发性肾损害病理改变。皮肤病理检查示:真皮及皮下弥漫性淋巴样细胞浸润,淋巴样细胞有异型性,表皮下部分亦有淋巴细胞浸润。免疫组化 CD45RO、CD43、CD45RB、CD68、Ki-67 和 Ti-A-1 均阳性,CD56、CD20、CD30、MPO、CK 和 HBV 均阴性。符合皮肤 T 细胞淋巴瘤,不排除“种痘样疱疹样 T/NK 淋巴瘤”(图 2)。



**图 1 肾脏病理改变(光镜)** A(PAS 染色,  $\times 400$ ):可见球内细胞数增多,系膜细胞增生,肾小管可见空泡变性。B(苏木精-伊红染色,  $\times 400$ ):可见系膜细胞增生。



**图 2 皮肤病理损害** A(苏木精-伊红染色,  $\times 100$ ):可见真皮及皮下弥漫性淋巴样细胞浸润,以真皮上部为主;B(苏木精-伊红染色,  $\times 200$ ):可见淋巴样细胞有异型性和不规则细胞核。

讨论:皮肤 T 细胞淋巴瘤(cutaneous T-cell lymphomas)是一组异质性非霍奇金淋巴瘤,其特征是辅助性 T 细胞大量增殖,并浸润皮肤<sup>[1]</sup>,主要表现为皮肤病变,常缓解与恶化反复发作<sup>[2]</sup>。种痘水疱病样皮肤 T 细胞淋巴瘤(hydroa vacciniforme-like cutaneous T cell lymphoma)是一种罕见的皮肤 T 细胞淋巴瘤,与 Epstein-Barr 病毒感染相关<sup>[3]</sup>,皮损类似种痘样水疱病。此例患儿 EB 病毒抗体为阴性,但皮疹多于蚊虫叮咬后出现,对蚊虫叮咬高度敏感,此符合种痘水疱病样皮肤 T 细胞淋巴瘤的特点,但尚不能确定是否为该种皮肤 T 细胞淋巴瘤。

该患儿在病程中有蛋白尿病史,并因之行肾脏病理活检,究其原因,既往认为因皮肤 T 细胞淋巴瘤导致免疫功能紊乱破坏肾小球结构,增加其基底膜通透性,导致大量蛋白从基底膜丢失<sup>[4]</sup>,本例患儿肾脏活检示有炎性细胞浸润,推测亦由于炎症损害增加肾小球基底膜的通透性。此例患儿虽短期内尿蛋白迅速恢复,但肾脏病理损害仍存在,提示需进行原发病的积极治疗。

## [参考文献]

- [1] Chiariom-Silene V, Bononi A, Fornasa CV, Soraru M, Alaibac M, Ferrazzi E, et al. Phase II trial of interferon-alpha-2a plus psolaren with ultraviolet light A in patients with cutaneous T-cell lymphoma [J]. Cancer, 2002, 95(3):569-575.
- [2] 蒙健军,吕丽萍,赵晓琴,韦敏怡.皮肤 T 细胞淋巴瘤 2 例[J].广西医科大学学报,1999,16(2):236.
- [3] Demachi A, Nagata H, Morio T, Oyoshi MK, Zhang Y, Tabata N, et al. Characterization of Epstein-Barr virus (EBV)-positive NK cells isolated from hydroa vacciniforme-like eruptions [J]. Microbiol Immunol, 2003, 47(7):543-552.
- [4] Cather JC, Jackow C, Yegge J, Hagemeister F, Duvic M. Mycosis fungoides with focal segmental glomerular sclerosis and nephrotic syndrome [J]. Am Acad Dermatol, 1998, 38(2 Part 2):301-305.

(本文编辑:黄榕)